

京都大学防災研究所 正員 関口 秀雄
大林組 正員 ○鳥井原 誠

1. まえがき：— 前報では、正規圧密粘土の基本的なレオロジー特性にとづく一次元圧密理論を構成し、あわせて二次圧縮を発揮する正規圧密粘土に対する圧密係数の一決定法を提案した。本報告では、提案圧密理論式中に含まれるパラメーター、 $-(\partial e/\partial t)_0$ / 入の役割に焦点をしほり、(1)二次圧縮を伴なう一次元圧密過程における相似則、(2)先行二次圧縮期間の後続圧密過程における影響について考察を行なう。

2. 理論：— 正規圧密粘土の K_0 -条件下の応力-ヒズミ-時間関係式として次式が成立する。

$$\left. \begin{aligned} \frac{\partial e}{\partial t} &= \left(\frac{\partial e}{\partial t} \right)_{\sigma'_v} + \left(\frac{\partial e}{\partial \sigma'_v} \right) \frac{\partial \sigma'_v}{\partial t}, \\ \left(\frac{\partial e}{\partial t} \right)_{\sigma'_v} &= \left(\frac{\partial e}{\partial t} \right)_0 \exp \left\{ - \frac{e_0 - e - \lambda \ln(\sigma'_v/\sigma'_{v0})}{C_a^*} \right\}, \\ \left(\frac{\partial e}{\partial \sigma'_v} \right)_t &= - \frac{\lambda}{\sigma'_v} \left[1 - \left(1 - \frac{\lambda}{C_a^*} \right) \exp \left\{ - \frac{e_0 - e - K^* \ln(\sigma'_v/\sigma'_{v0})}{C_a^*} \right\} \right], \end{aligned} \right\} \quad (1)$$

ここで、 e = 開げき比、 t = 実時間、 σ'_v = 鉛直有効応力、 e_0 = 初期開げき比、 σ'_{v0} = 初期鉛直有効応力、 $-\left(\frac{\partial e}{\partial t}\right)_0 = \sigma'_v - \sigma'_{v0}$ の載荷直前における開げき比減少速度、 λ = 圧縮指数(図-1参照)、 C_a^* = 二次圧縮速度に相当する定数、 K^* = 即時圧縮指数(図-1参照)である。

二次圧縮を伴なう一次元圧密過程を支配する基礎方程式として次式を前報で誘導した。

$$\begin{aligned} \frac{\partial U_e}{\partial T} &= - \left\{ \frac{\partial^2 \bar{U}}{\partial X^2} - \frac{\lambda}{C_a^*} \frac{\partial \bar{U}}{\partial X} \ln(1+\psi) \right\} \cdot (1+\psi)^{-U_e \lambda / C_a^*}, \\ \frac{\partial \bar{U}}{\partial T} &= (1 - \bar{U} + \frac{1}{\psi}) \left[- \frac{\partial U_e}{\partial T} \ln(1+\psi) - \frac{(\partial e/\partial t)_0}{\lambda} (1+\psi)^{-U_e \lambda / C_a^*} \right. \\ &\quad \times \left. \{1 + (1 - \bar{U})\psi\}^{K^*/C_a^*} \right] / \left[1 - (1 - \frac{\lambda}{C_a^*})(1+\psi)^{-U_e \lambda / C_a^*} \right. \\ &\quad \times \left. \{1 + (1 - \bar{U})\psi\}^{K^*/C_a^*} \right], \end{aligned} \quad (3)$$

ここで、 U_e = ヒズミに關する局所圧密度、 \bar{U} = 無次元化した過剰開げき水圧、 T = 時間係数、 X = 層厚 H で無次元化した鉛直座標、 C_a^* = 遷水係数の開げき比依存性に關連した定数、 ψ = 応力増分比($= \sigma'_v / \sigma'_{v0}$)である。なお $\Delta \sigma_v$ は鉛直全応力の増分を示している。

境界条件、初期条件および(2)、(3)式の数值解析については、前報に譲る。

3. 開げき水圧消散挙動における $-(\partial e/\partial t)_0$ / 入の役割：— 不透水面における過剰開げき水圧 \bar{U}_m (\bar{U} at $X=0$) と時間係数 T との理論的関係を、 $-(\partial e/\partial t)_0$ / 入をパラメータとして図-2に示した。同図から、 $-(\partial e/\partial t)_0$ / 入の減少とともに $\bar{U}_m - \log(T)$ 関係は初期より早く消散する傾向を示すことが明らかである。

このような特性の理解を助けるために、 $-(\partial e/\partial t)_0$ / 入の定義式をつぎに示す。

$$-(\partial e/\partial t)_0 / \lambda = -(\partial e/\partial t)_0 H^2 / (C_a \lambda), \quad (4)$$

ここに、 C_a = 圧密係数である。

簡単のために、 C_a の値を固定して考えてみよう。このとき、 $-(\partial e/\partial t)_0$ の減少、あるいは H の減少が(4)式の左辺の値を減少せしめることが明らかである。ところで、 $-(\partial e/\partial t)_0$ の減少は、 σ'_v の載荷に先行する二次圧縮期間(先行二次圧縮期間)の増加につれて顕著であるので、図-2の結果はつぎのようによく解釈できる。— 先行二次圧縮期間が長くなるほど、つぎの応力増分の作用のことで $\bar{U}_m - \log(T)$ 関係は初期より早い消散を示す、またその傾向は層厚 H の減少によって助長される。

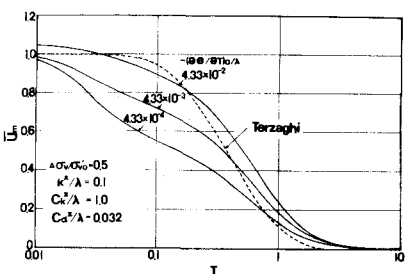
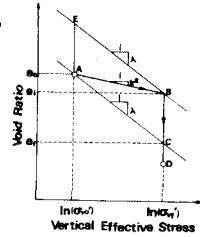


図-2 $\bar{U}_m - \log(T)$ 関係(理論結果)

図-3は、Barden(1969)³⁾によてカオリンに対する実測された $\bar{U}_m - \log(T)$ 関係を引用したものである。Bardenは、図-3の結果にとどまらず、先行二次圧縮期間が長くなるほど $\bar{U}_m - \log(T)$ 関係の初期部で急速な消散が認められること、またその傾向が H の減少によつて助長されることを述べている。したがつて、上述したこと考慮すれば、これらのBardenによる観測事実は、図-3に示した理論的結果と定性的によく一致していることが認められる。

4. 次下挙動における $-(\partial e / \partial t)_0 / H$ の係数：一。単位層厚あたりの沈下量 \bar{e} と時間係数 T との理論的関係を、 $-(\partial e / \partial t)_0 / H$ をパラメータとして図-4に示す。

(i) $H = \text{固定}$ として考えた場合には、図-4の結果から、(a) それぞれの応力増分比のとどまることは先行二次圧縮期間の増加とともに減少すること、(b) 二次圧縮速度は先行二次圧縮期間に依存しないことが予測される。(a)の特性は、Bjerrum⁴⁾の提唱する delayed consolidation による効果と一脈通ずるものである。(b)の特性は従来までの実験結果(たとえば、Newland et al.⁵⁾)によつて支持されるようである。

(ii) $H = \text{変化}$ として考えた場合には、改めて $\bar{e} - \log(t)$ 関係に再整理した方が理解しやすい。一例として図-5に図-4の $\Delta \sigma_v / \sigma_{v0}' = 1.0$ の結果を再整理して示した。(ここに採用した $-(\partial e / \partial t)_0 / H^2 / C_2$ の値を図-5の右上隅に示している。) まず、等しい $-(\partial e / \partial t)_0$ の値をもつ曲線1, 2, 3に着目すれば、いかゆる isotache⁶⁾ を満足する関係が得られてゐることがわかる。一方、等しい $-(\partial e / \partial t)_0$ の値をもつ曲線4, 5では、曲線の形が同形で単なる水平移動によって1本の共通曲線外へ得られること、したがつて isotache の成立していないことが認められる。

図-6において、いま A点と C点が同じ状態(*e.g.* \bar{U}_m の95%消散)にあると考えれば、明らかに C点における $d\sigma/dt$ の値は A点のそれよりも小さい。したがつて、これら A, C点においてつづりの応力増分を印加する場合を想定すれば、この応力増分載荷直前の $d\sigma/dt$ の値、ひいては $-(\partial e / \partial t)_0$ の値が層厚の増加とともに減少し、C点での $-(\partial e / \partial t)_0$ の値は A点でのそれよりも小さくなることがわかる。それゆえ、図-5に示した曲線1, 2, 3のような特性は実非現実的であることが推測される。それへひきかえ、 $-(\partial e / \partial t)_0$ の値が層厚によらず一定であるという例(後端は別であるが)、上述のことから考えてむしろ現実に近いようと思われる。

また、いま述べたことに関連して、Abashi(1973)⁷⁾は層厚を広範囲に変動させた圧密試験結果に基づいて isotache に対するやや否定的な見解を述べており、興味深い。

5. 声約：一。 $-(\partial e / \partial t)_0 / H$ の係数について考察し、載荷直前の限げき比減少速度の重要性を一次元圧密過程の相似則と関連づけて指摘するとともに、先行二次圧縮期間の継続圧密挙動におよぼす影響を明らかにした。

謝辞 御指導を賜わつた村山耕郎京都大学名誉教授へ対し深く感謝の意を表します。

- 参考文献
- 1) 関口・鳥井原(1975), 第1回土質工学研究発表会, 2) Seifert, H.(1974), Dr. Eng. Thesis, Kyoto Univ.. 3) Barden, L.(1969), J. Soil Mech. Found. Div., ASCE, Vol. 95, No. SM15. 4) Bjerrum, L.(1967), Geotech., Vol. 17, No. 2. 5) Newland, P.L. and Allely(1960), Geotech., Vol. 10, No. 2. 6) Sörlje, L.(1969), Rheological aspects of soil mechanics, Wiley-Interscience. 7) Abashi, H.(1973), Proc. 8th Int. Conf. SMFE, Vol. 4, 3.

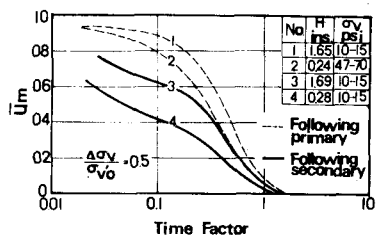


図-3 実測 $\bar{U}_m - \log(T)$ 関係(Barden³⁾)

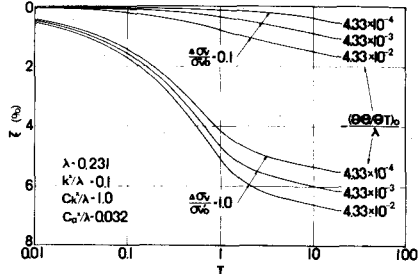


図-4 $\bar{e} - \log(t)$ 関係(理論結果)

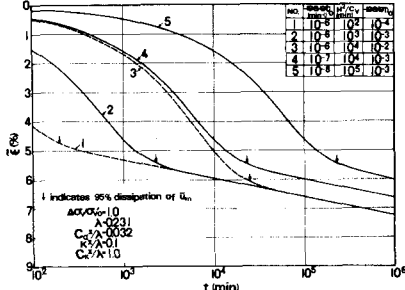


図-5 $\bar{e} - \log(t)$ 関係(理論結果)

